

6 Ледовые условия на дальневосточных морях

Суровость зимних условий в регионе можно проследить по поведению такой инерционной характеристики, как ледовитость моря (рис. 6-1–6-3). Графики ледовитости построены на основе средней декадной ледовитости в % относительно общей площади моря для Охотского и Берингова морей и относительно площади предельного распространения льда для Японского моря [Якунин, 1987, Плотников, 2002]. При характеристике ледовых условий используется классификация: умеренная ледовитость (отклонение ледовитости в пределах $\pm 1\sigma$ от нормы), большая (превышение нормы более чем 1σ) и малая (ниже нормы более чем 1σ), где σ – среднее квадратическое отклонение. За норму принята средняя многолетняя площадь моря, занятая льдом, за период 1971–2000 гг.

Японское море

В начале февраля наблюдалось разрушение ледяного покрова, ледовитость моря уменьшилась до 17% относительно площади предельного распространения льда, дефицит площади льда составлял 27% (стандартизованная аномалия – $-2,8\sigma$). В дальнейшем ледяной покров восстановился, однако ледовые условия оставались мягкими. В третьей декаде месяца ледовитость составляла 33% от площади предельного распространения льда, был достигнут сезонный максимум; при этом площадь льда была меньше нормы на 10% (стандартизованная аномалия – $-1,0\sigma$) (рис. 6-1).

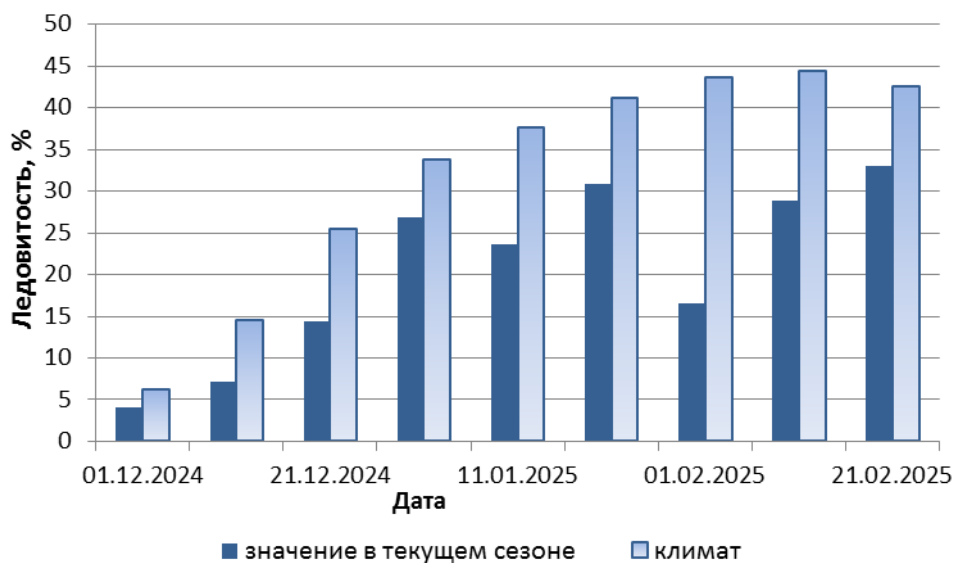


Рис. 6-1 Ледовитость Японского моря по декадам с декабря 2024 г. по февраль 2025 г.

Охотское море

В Охотском море в течение первых двух декад месяца наблюдалось слабое развитие, а в третьей декаде – незначительное разрушение ледяного покрова. Относительно климатической нормы в течение всего месяца ледовитость моря была слабой – дефицит площади льда составлял 23–27%, стандартизованные аномалии – $-1,9\sigma$... $-2,4\sigma$. В третьей декаде площадь льда составляла 48% относительно общей площади моря (рис. 6-2).

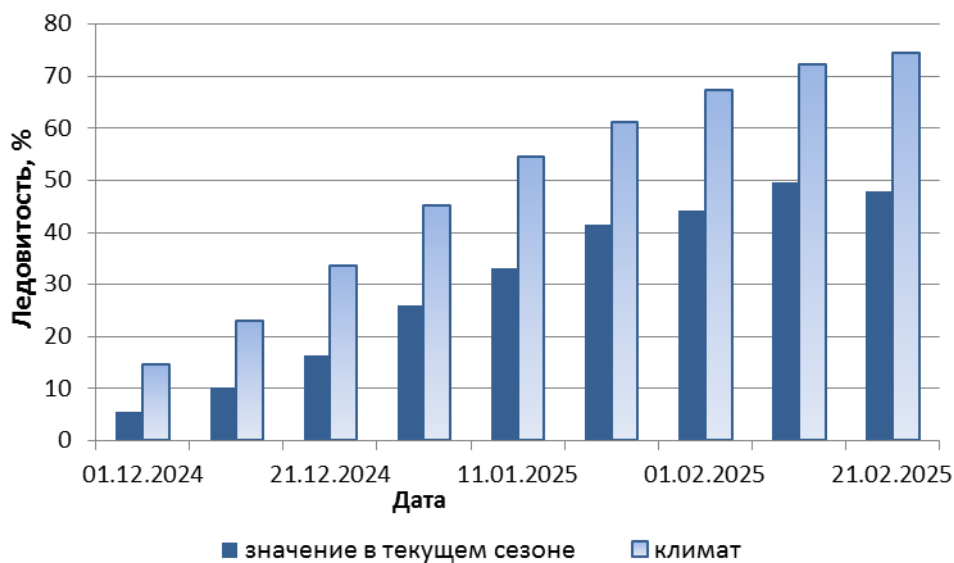


Рис. 6-2 Ледовитость Охотского моря по декадам с декабря 2024 г. по февраль 2025 г.

Берингово море

В первых двух декадах февраля в Беринговом море наблюдалось слабое разрушение ледяного покрова, в третьей декаде ледовитость моря возросла до 28%. Относительно климатической нормы ледовые условия были умеренно мягкими – дефицит площади льда составлял 5–8%, стандартизованные аномалии – от $-0,8\sigma$ до $-1,3\sigma$ (рис. 6-3).



Рис. 6-3 Ледовитость Берингова моря по декадам с декабря 2024 г. по февраль 2025 г.